



شیمی کانی و دما-فشارسنجی متابازیت‌های نئوپروتروزوئیک پسین مجموعه دگرگونی – آذرین جنوب دو چاه (جنوب شرق شاهروド)

مژگان رضایی^{۱*}، محمود صادقیان^۱، حبیب الله قاسمی^۱، پاپادوپائلو لامبرینی^۲

۱- گروه پترولیومی و زمین‌شناسی اقتصادی، دانشکده علوم زمین، دانشگاه صنعتی شاهرود

۲- گروه زمین‌شناسی کانی‌شناسی پترولیومی- اقتصادی، مرکسه زمین‌شناسی، دانشگاه آریستوتل، یونان

(دریافت مقاله: ۹۸/۳/۷، نسخه نهایی: ۹۸/۵/۱۶)

چکیده: مجموعه دگرگونی-آذرین نئوپروتروزوئیک پسین در جنوب دو چاه یکی از مجموعه‌های بی‌سنگی ایران در جنوب شرق شاهروド و در کرانه شمالی پهنه ساختاری ایران مرکزی واقع شده است. این مجموعه در بردارنده طیف ترکیبی گسترده‌ای از سنگ‌های دگرگونی چون متابازیت، متاپلیت، متاکربنات و متاپسامیت است که میزبان سنگ‌های آذرین لوکوگرانیتی و بیوتیت‌گرانیتی هستند. سنگ‌های مادر متابازیت‌ها شامل روانه‌های بازالتی زیردریایی، دسته دایک‌های دیابازی و توده‌های نفوذی گایپرودیوریتی کوچک مقیاس بوده‌اند که در مسیر یک دگرگونی ناحیه‌ای بارووین فشار بالا، به شیست‌سبز، آمفیبولیت و گارنت‌آمفیبولیت دگرگون شده‌اند. برآوردهای دما-فشارسنجی بر پایه تجزیه شیمیایی نقطه‌ای آمفیبولها و پلاژیوکلازهای همزیست در این متابازیت‌ها، گستره دمایی ۳۸۷ تا ۶۳۶ درجه سانتیگراد و فشار ۲/۷ تا ۱۱ کیلوبار را برای توقف تبادل و تعادل نهایی آنها مشخص کرده است. این شرایط بیانگر برقرار بودن یک نظام دگرگونی نوع بارووین فشار بالا در رخداد کوهزادی کادومین در سرزمین‌های گندوانایی ایران در شرایط دما و فشار رخساره‌های شیست‌سبز تا آمفیبولیت بالایی است.

واژه‌های کلیدی: شیمی کانی؛ دما-فشارسنجی؛ متابازیت؛ نئوپروتروزوئیک؛ دو چاه؛ شاهرود.

علت واقع شدن در کرانه شمالی کوبیر ایران مرکزی، دور بودن از مراکز جمعیتی و نداشتن راه‌های ارتباطی، تاکنون جز نقشه‌های زمین‌شناسی ۱:۱۰۰۰۰۰ دردهایی و رزوه (رَزَه) [۱۰، ۱۱]، هیچ پژوهش علمی جامعی پیرامون آن صورت نگرفته و بررسی این منطقه در قالب رساله دکتری نویسنده اول مقاله، در نوع خود برای نخستین بار انجام شده است. مجموعه دگرگونی-آذرین نئوپروتروزوئیک پسین جنوب دو چاه طیف ترکیبی گسترده‌ای از سنگ‌های دگرگونی چون متاپلیت، متاپسامیت، متاکربنات و متابازیت را شامل می‌شود که میزبان سنگ‌های آذرین لوکوگرانیتی و بیوتیت‌گرانیتی هستند. متابازیت‌ها از آنجا که به شرایط دگرگونی درجه پایین حساس هستند [۱۲]، شاخص‌هایی کلیدی در ثبت فرایندهای زمین ساختی مانگماهی در نوارهای کوهزادی به حساب می‌آیند [۱۳].

مقدمه

از جنوب دامغان تا جنوب و شرق شاهرود و سپس به سمت شمال شرق (شمال کاروانسرای میاندشت کنار جاده آسفالته بین میامی و عباس آباد)، مجموعه‌های متعدد و پراکنده‌ای در بردارنده سنگ‌های دگرگونی و آذرین مرکزی با سن کلی نئوپروتروزوئیک پسین رخمنون دارند. این مجموعه‌ها بطور محلی با اسمای شترکوه، بند هزار چاه، دلبر، سفید سنگ، ماجراجاد، جنوب غرب میامی، شمال غرب احمد آباد، غرب رضا آباد، شمال گردنه رشم و جنوب دو چاه، شناخته می‌شوند. پژوهش‌های ارزشمندی پیرامون شناخت دگرگونی‌های زمین-شناسی صورت گرفته در گستره زمانی یاد شده انجام شده‌اند [۹-۱۱]. مجموعه بی‌سنگی جنوب دو چاه که بررسی دگرگونی‌های سنگ‌شناسی متابازیت‌های آن موضوع این مقاله است، به

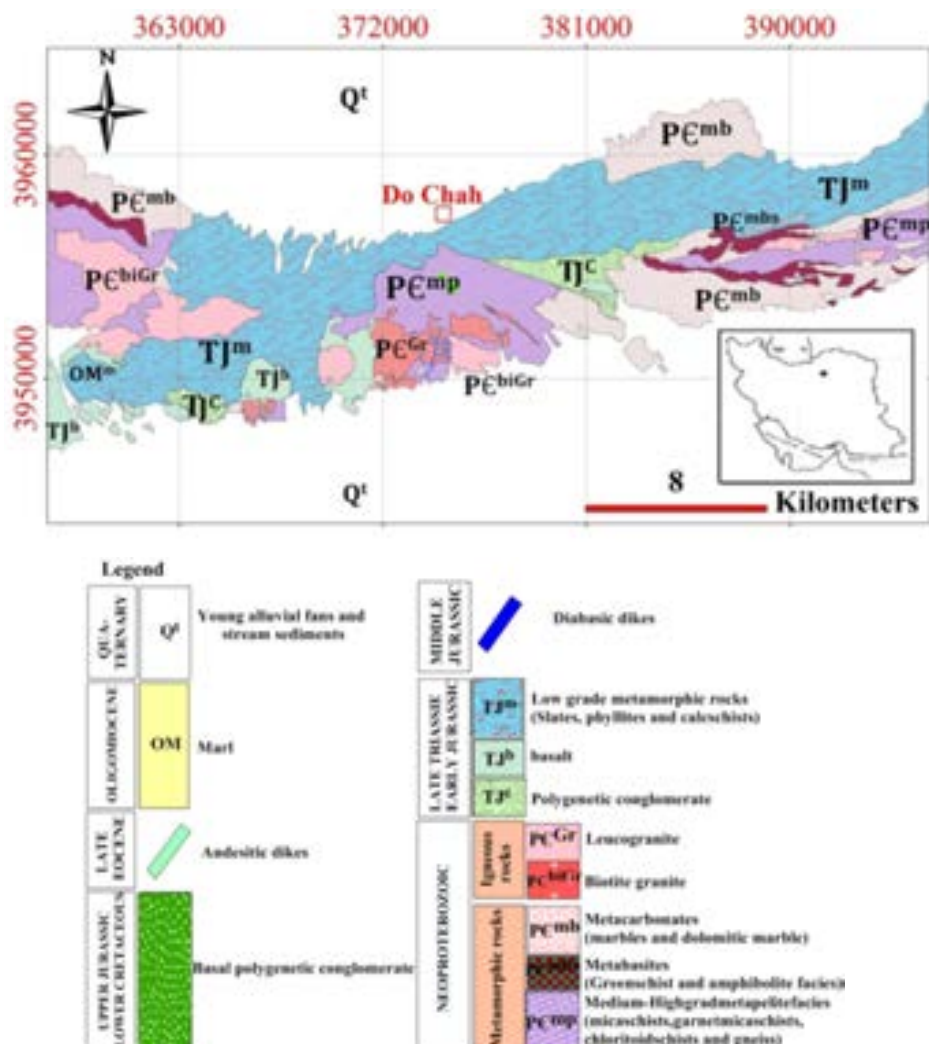
*نویسنده مسئول، تلفن: ۰۹۱۸۳۳۸۱۹۸۴، پست الکترونیکی: rezaiemozhgan@gmail.com

گارنت-آمفیبولیت برونزد دارند. متاپلیت‌ها نیز شامل اسلیت، فیلیت، میکالشیست، گارنت شیست، کلربیت‌ویلد شیست، گنیس و گارنت-گنیس هستند. در شرایط اوج دگرگونی متاپلیت‌ها، شواهد گرانیت‌زایی بسیار دیده می‌شود. متاپاسامیت‌ها و ماسه سنگ‌های تیره دگرگونه نیز از سازنده‌های این مجموعه دگرگونی هستند. متاکربنات‌ها در بالاترین بخش توالی‌های سنگی اولیه، گسترش قابل توجهی دارند. متاکربنات‌ها به همراه کانسنگ‌های دگرگون شده آهن و منگنزدار به صورت میان‌لایه در برخی مناطق رخنمون دارند. سنگ‌های آدرین نئوبروتروزوئیک پسین شامل لوکوگرانیت و بیوتیت‌گرانیت هستند. این گرانیت‌ها مجموعه دگرگونی دو چاه را قطع کرده‌اند (شکل ۲).

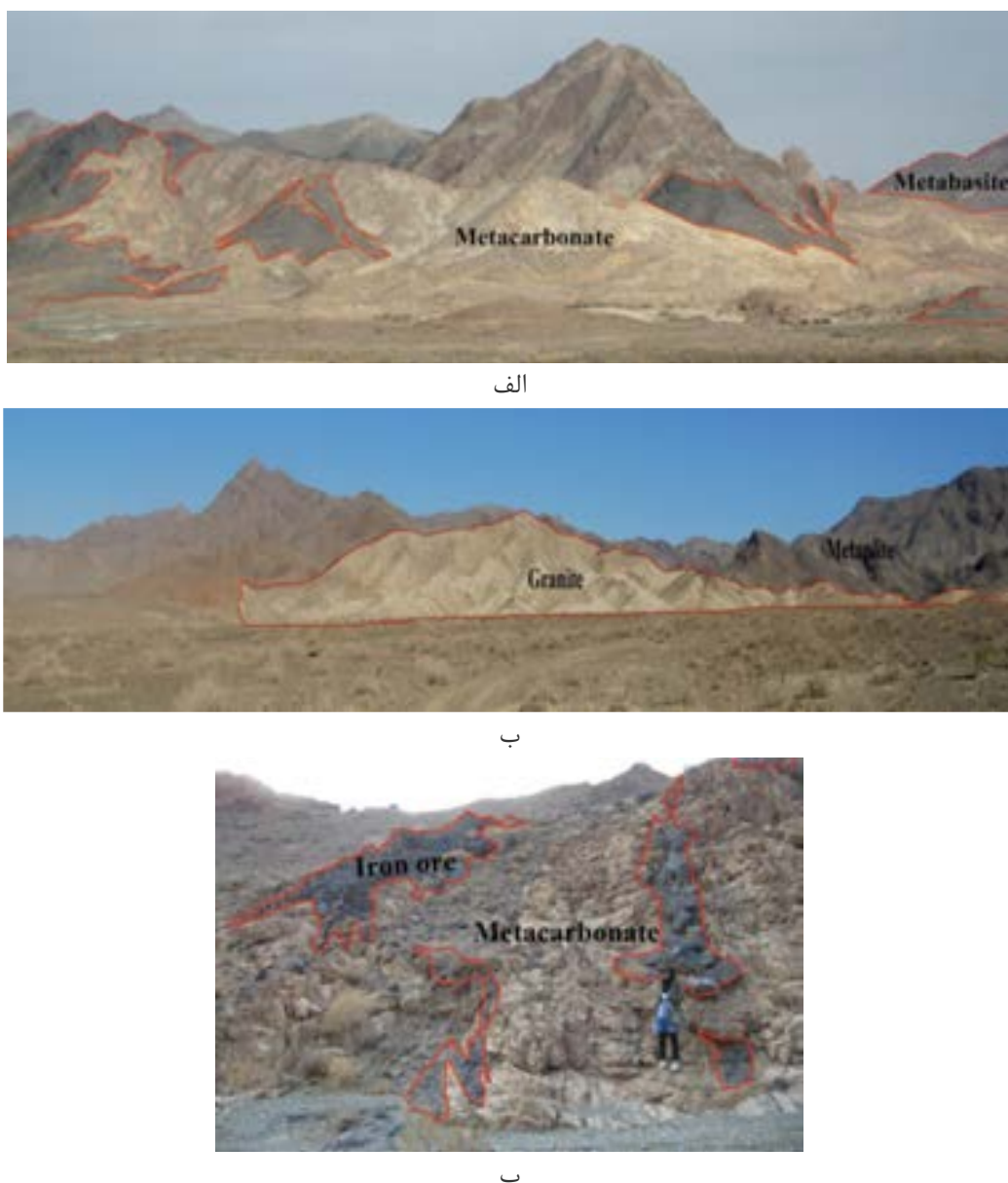
بر این اساس، در این پژوهش سعی شد تا با استناد به شواهد صحرایی، بررسی‌های سنگنگاری و نتایج شیمی کانی‌ها، سازوکار حاکم بر دگرگونی متابازیت‌های نئوبروتروزوئیک پسین مجموعه دگرگونی - آدرین جنوب دو چاه به دقت ارزیابی شود.

زمین‌شناسی عمومی منطقه

مجموعه دگرگونی - آدرین جنوب دو چاه در ۱۶۰ کیلومتری جنوب‌شرق شاهرود و در کرانه شمالی پهنه ایران مرکزی واقع است (شکل ۱). واحدهای سنگی وابسته به نئوبروتروزوئیک پسین طیف گسترده‌ای از سنگ‌های دگرگونی چون متابازیت، متاپلیت، ماسه سنگ دگرگونه و متاکربنات را شامل می‌شوند. در منطقه جنوب دو چاه، متابازیت‌ها که موضوع این مقاله هستند به صورت شیست‌سیز، اپیدوت‌آمفیبولیت، آمفیبولیت و



شکل ۱ نقشه زمین‌شناسی مجموعه دگرگونی - آدرین جنوب دو چاه، که بر اساس تصاویر گوگل ارث و بازدیدهای صحرایی این پژوهش تهیه و رسم شده است.



شکل ۲ الف- دورنمایی از متابازیت‌های نئوپروتروزوفئیک پسین همراه با متاکربنات‌ها در جنوب‌شرق منطقه دو چاه (جهت دید به سمت شمال)، ب- دورنمایی از لوکوگرانیت‌های نئوپروتروزوفئیک پسین و متاپلیت‌های میزان آنها (جهت دید به سمت شمال) و پ- نمایی از کانه‌زایی آهن همراه با متاکربنات‌ها (مرمرها). کانه‌زایی آهن به صورت میان‌لایه‌ای و دارای ماهیت آتشفسانی- رسوی است دید به سمت غرب.

های بازالتی در برخی نقاط از جمله شمال آغل کندو، ساخت بالشی زیبایی نشان می‌دهند. توالی یاد شده معادل سازند شمشک در البرز است که در حوضه‌های کششی پشت کمانی تشکیل شده است [۱۳-۱۵]. این توالی در رخداد سیمیرین میانی در زمان ژوراسیک میانی دگرگون شده و به مجموعه دگرگونی درجه پایینی تبدیل شده است. مجموعه دگرگونی- آذرین جنوب دوچاه و همچنین توالی رسوی- آتشفسانی دگرگون شده پوشاننده، مانند مناطق هم‌جوار توسط دایک‌های

واحدهای سنگی پس از نئوپروتروزوفئیک پسین (واحدهای پوشاننده مجموعه دگرگونی- آذرین دو چاه) شامل توالی رسوی- تخریبی به سن تریاس پسین- ژوراسیک پیشین است که با کنگلومرای قاعده‌ای چندزدای شروع شده و با توالی به نسبت ضخیمی از ماسه‌سنگ، شیل، آهک‌ماسه‌ای و آهک ادامه می‌یابد. در این توالی، روانه‌های بازالتی زیرآبی، توده‌های کوچک گابرویی، دایک‌های دیابازی و آتشفسانی- تخریبی‌های با ترکیب بازالتی به صورت میان‌لایه رخمنون دارند. میان‌لایه

دسته‌های دایکی متابازیتی نیز در سراسر مجموعه جنوب دوچاه رخمنون دارند و می‌توان آنها را با فاصله‌های چند متری دیده کرد. البته، این دایک‌ها طی دگرگونی چین‌خورده و در مواردی با گسل‌ها نیز تغییر مکان داده‌اند (شکل ۳). شاید بتوان با احتیاط بخشی از توده‌های آذرین بازی اولیه را نیز سیل به حساب آورد، ولی با توجه به دگرگونی و دگرشکلی این سنگها، همیشه باید احتیاط کرد. با توجه به مطالب بیان شده، می‌توان سنگ مادر متابازیت‌ها را روانه‌های بازالتی زیردریایی و آتشفسانی- تخریبی‌های وابسته، دسته دایک‌های دیابازی و توده‌های آذرین نفوذی کوچک مقیاس با ترکیب گابرو تا دیبوریت در نظر گرفت.

رگه‌های سیلیسی با مقیاس چند سانتیمتر تا یک متر در متابازیت‌ها دیده می‌شوند. این رگه‌های سیلیسی برآمده از تبلور سیال‌های سرشار از سیلیس ناشی از واکنش‌های دگرگونی آب- زدا و تبدیل کلینوپیروکسن‌های متابازیت‌ها به آمفیبول هستند. در متابازیت‌ها، چین‌هایی در مقیاس ماکروسکوپی تا میکروسکوپی دیده می‌شود (شکل‌های ۳ ث و ج). همچنین در بیشتر مناطق، جهت‌یابی ترجیحی کانیها طی دگرگونی و دگریختی به گسترش برگوارگی و خطوارگی بازی در آنها منجر شده است. رگه‌های سیلیسی در بعضی مناطق به صورت بودین‌شدگی و عدسی‌های سیگمایی شکل ظاهر شده‌اند. شواهد بیان شده نشانگر عملکرد پهنه‌های برشی در متابازیت‌ها هستند (شکل‌های ۳ چ، ح و خ).

سنگ نگاری

به طور کلی، ۹۰ تا ۹۵ درصد سنگ‌های آذرین مافیک به عنوان سنگ مادر متابازیت‌ها از پلاژیوکلاز و پیروکسن تشکیل شده‌اند [۱۲]. در بخش‌هایی از متابازیت‌های مجموعه جنوب دو چاه، گابرودیبوریت‌های اولیه دچار دگرگونی و دگریختی نشده‌اند و در آنها پلاژیوکلاز، پیروکسن و کانی‌های ثانویه چون آمفیبول، کلسیت و کلریت یافت می‌شود (شکل ۴ الف). وقتی یک سنگ آذرین مافیک طی دگرگونی دستخوش شرایط دما و فشار جدید قرار می‌شود سازی شیمیایی خود را به شکل کانی‌های جدید بازیابی می‌کند و سیلیکات‌های حامل Ca, Mg و Fe بر اساس شرایط دما و فشار مشخص خود تشکیل می‌شوند. همچنین، با تشخیص کانی در یک متابازیت، شرایط تقریبی دگرگونی سنگ آذرین مافیک تعیین می‌شود [۱۳]. بر این اساس، متابازیت‌های مجموعه دگرگونی جنوب دوچاه را می‌توان به صورت شیست‌سیز و آمفیبولیت در نظر گرفت.

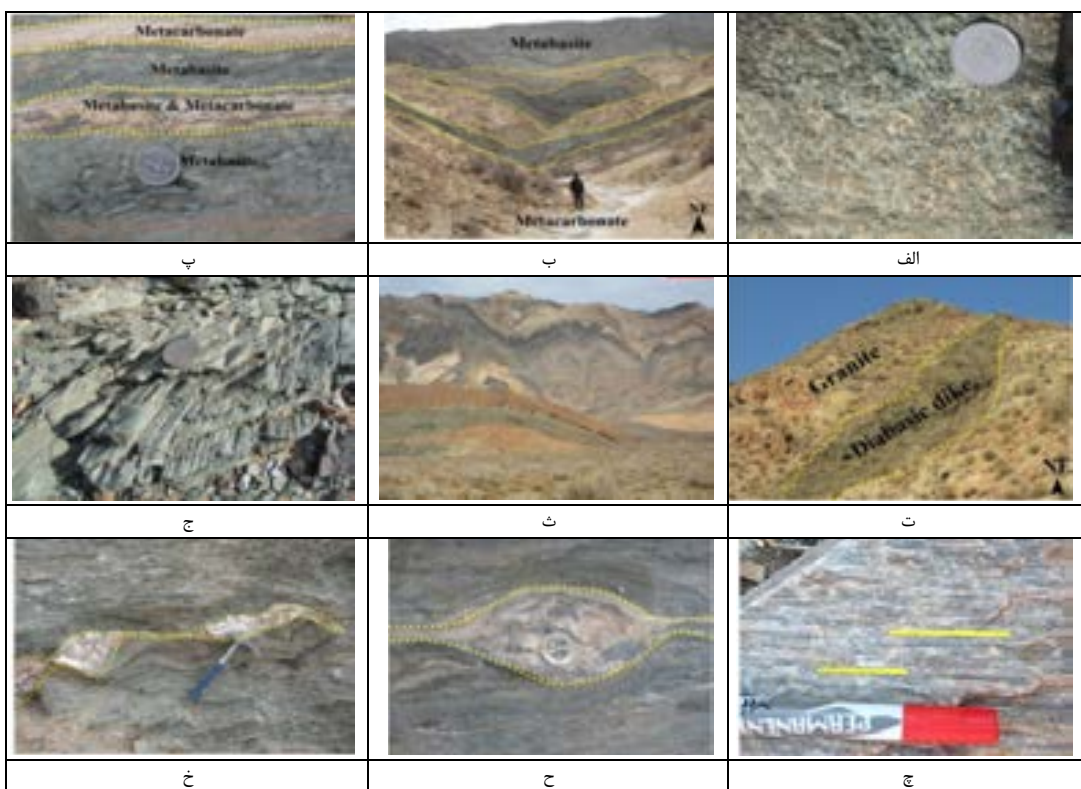
دیابازی، آپوفیزها و سیل‌های کوچک مقیاس گابرودیبوریتی مورد نفوذ قرار گرفته است. با توجه به شواهد چینه‌شناسی و تعیین سن ایزوتوپی به روش U-Pb، سن اواخر تریاس تا ژوراسیک میانی را به آنها نسبت داده‌اند [۱۴-۱۶]. در منطقه مورد بررسی، واحد کنگلومراپی اوایل کرتاسه و همچنین انباسته‌های کنگلومراپی پالئوسن نیز در برخی نقاط، سنگ‌های قدیمی‌تر را پوشانده‌اند. چندین دایک آندزیتی به سن ائوسن میانی - پسین، واحدهای پروتروزوژئیک پسین مجموعه دگرگونی - آذرین جنوب دوچاه را قطع کرده‌اند. رخمنون‌هایی از مارن‌های الیگومیوسن و رسوب‌های آبرفتی- تخریبی کواترنر نیز در منطقه دیده می‌شوند (شکل ۱).

روش بررسی

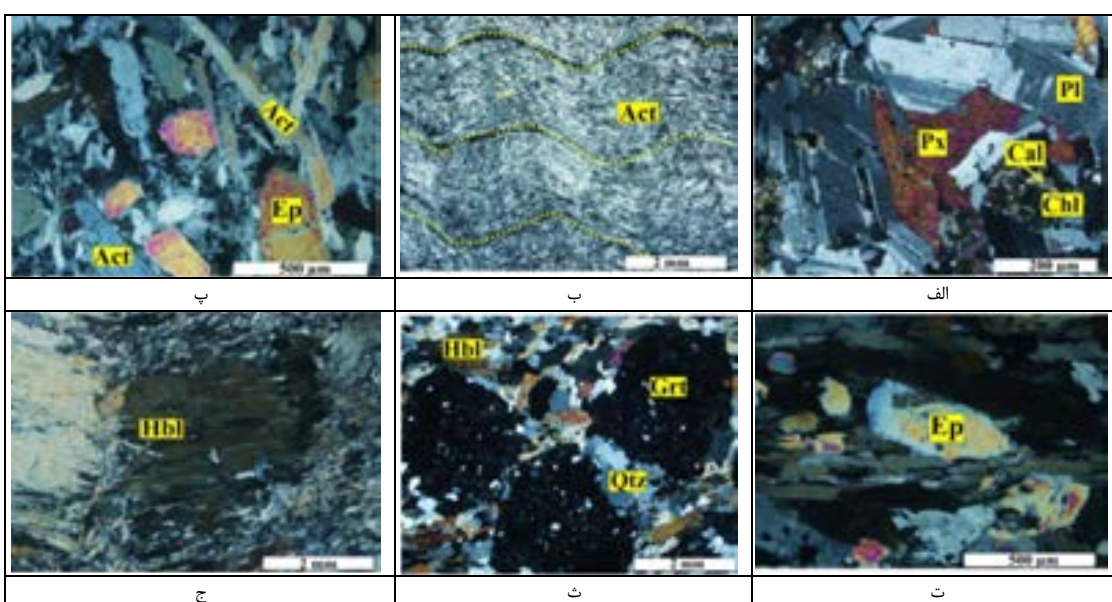
پس از شناسایی دقیق واحدهای سنگی منطقه دوچاه و بررسی دقیق روابط صحرایی آنها با هم، حدود ۸۰ نمونه از متابازیت‌ها برداشت شد و به منظور بررسی‌های میکروسکوپی از آنها مقطع نازک تهیه گردید. از بین آنها، تعداد ۸ نمونه شیست- سبز، ۴ نمونه آمفیبولیت و ۱ نمونه گارتنت‌آمفیبولیت (نت‌نمونه شیست- سبز و پس از تهیه مقطع نازک- صیقلی، در آرمایشگاه مرکزی دانشگاه آریستوتل کشور یونان تجزیه نقطه‌ای (با دستگاه مدل JEOL JSM-840A) شدند.

شواهد صحرایی

متابازیت‌ها به صورت شیست‌سیز، آمفیبولیت و گارتنت- آمفیبولیت در مجموعه دگرگونی- آذرین جنوب دو چاه رخمنون دارند. در بخش جنوب شرقی مجموعه (شکل‌های ۱ تا ۳)، متابازیت‌ها، اغلب با متاکربنات‌ها و گاهی با متاپلیت‌ها و متاپسامیت‌ها به صورت بین‌لایه‌ای دیده می‌شوند. تغییرات زیاد و نامنظم ضخامت این متابازیت‌ها (سانتیمتری، دسمتری و حتی چند صد متری)، همراهی آنها با کربنات‌ها و وجود میان- لایه‌های کربناتی در بین آنها نشان می‌دهد که این بازالت‌ها در محیط زیردریایی یا به عبارت کلی تر در محیطی زیرآبی تشکیل شده‌اند. در نتیجه می‌توان گفت که گدازه‌های بازی، همزمان با رسوبگذاری توالی رسوبی اولیه به درون حوضه‌های رسوبی اواخر نئوپروتروزوژئیک پسین راه یافته‌اند و یا به عبارتی در آنها جاری شده‌اند. ساختهای بادامکی اولیه بازالت‌ها هنوز در برخی بخش‌های متابازیت‌ها محفوظ مانده‌اند (شکل‌های ۳ الف، ب و پ). در بخش‌هایی از متابازیت‌ها که کمتر دستخوش شده‌اند، ساخت و بافت اولیه گابرودیبوریت‌ها حفظ شده است.



شکل ۳ تصاویری از ویژگی‌های بارز متابازیت‌های مجموعه دگرگونی-آذرین جنوب دوچاه: الف- ساخت بادامکی بر جامانده از سنگ مادر بازالتی در متابازیت‌ها، ب و پ- همراهی متابازیت‌ها با کربنات‌ها و وجود میان‌ایه‌های کربناتی در بین آنها که نشانگر تشکیل بازالت‌های مادر در محیط آبی است، ت- دایک دیاباژی قطع کننده بیوتیت گرانیت‌ها (دید به سمت شمال شرق)، ث- چین‌های با مقیاس ماکروسکوپی در آمفیبولیت‌ها (دید به سمت شمال)، ج- چین‌های مزووسکوپی در شیست‌های سبز، چ، ح و خ- به ترتیب خطوارگی مشخص، عدسی‌های سیلیسی به شکل سیگما و بودین‌شدگی رگه‌های سیلیسی موجود در آمفیبولیت که نشان‌دهنده قرارگیری متابازیت‌ها در پهنه‌های برشی هستند.



شکل ۴ تصاویری میکروسکوپی از ویژگی‌های بارز متابازیت‌های مجموعه دگرگونی-آذرین جنوب دوچاه (در نور قطبیده متقطع، XPL): الف- گابرودیوریت اولیه به عنوان سنگ مادر بخشی از متابازیت‌ها، ب- اکتینولیت شیست و چین‌های نمایان آن، پ- اپیدوت اکتینولیت شیست، ت- ریزساختار اپیدوت‌ماهی در اپیدوت اکتینولیت شیست، ث- گارنت آمفیبولیت و ج- ریزدانه‌شدن هورنبلند در آمفیبولیت. (علامه اختصاری کانی‌ها عبارتند از Pl: پلازیوکلاز، Ep: اپیدوت، Px: پیروکسن، Hb: هورنبلند، Ac: اکتینولیت و Gt: گارنت).

را به خود اختصاص داده است و به صورت بلورهای درشت اغلب بزرگتر از ۱ میلی‌متر، منشوری و دوکی شکل به رنگ سبز با چندرنگی سبز تا قهوه‌ای دیده می‌شود. پلاژیوکلاز به صورت بلورهای ریز تا متوسط و بی‌شکل تا نیمه‌شکل دار بین هورنبلندها قرار دارد. کوارتز نیز به صورت بلورهای ریز در زمینه و یا میانبار در هورنبلند دیده می‌شود. بافت نخ شکفتی در نتیجه جهت‌یابی هورنبلند در این سنگ‌ها دیده می‌شود. تفاوت بارز اپیدوت آمفیبولیت‌ها و آمفیبولیت‌ها حضور اپیدوت در اپیدوت آمفیبولیت‌هاست. آمفیبولیت‌های دارای کلریت و یا اپیدوت در پایین‌ترین درجات رخساره آمفیبولیت یافت می‌شوند [۱۷].

گارنت آمفیبولیت‌ها در مقایسه با اپیدوت آمفیبولیت‌ها و آمفیبولیت‌ها در بردارنده گارنت و مقدار اندکی بیوتیت هستند (شکل ۴ ث). همچنین در این سنگ‌ها، اکتینولیت و اپیدوت یافت نمی‌شود. شکفته بلورهای گارنت در گارنت آمفیبولیت‌ها اغلب به صورت نیمه‌شکل دار تا شکل دار همراه با شکستگی، همچنین دارای میانبارهایی از کوارتز ظاهر شده‌اند. این سنگ‌ها بافت‌های نخ شکفتی، منقطع (دیکوسیت)، شکفته بلوری و پوئی غربالی نشان می‌دهند. از شواهد دگریختی در اپیدوت آمفیبولیت‌ها، آمفیبولیت‌ها و گارنت آمفیبولیت‌ها می‌توان به برگوارگی و خطوارگی (تشکیل نوارهای تیره و روشن)، شکستگی، ریزدانه شدن، شکن شدگی و تشکیل بلورهای ماهی‌شکل هورنبلند، شکستگی و شکن شدگی پلاژیوکلاز، بودین‌شدگی نوارهای کوارتزی و بازتابلور کوارتز اشاره کرد (شکل ۴ ج).

شیمی کانی‌ها

به منظور تعیین ترکیب شیمیایی دقیق کانی‌ها و برآورد دما- فشار تشکیل متابازیت‌ها در نمونه‌هایی از شیسته‌های سبز، آمفیبولیت‌ها و گارنت آمفیبولیت‌های مجموعه دگرگونی جنوب دوچاه، آمفیبول‌ها در ۱۸۰ نقطه، پلاژیوکلازها در ۹۸ نقطه و گارنت‌ها در ۲۲ نقطه، مورد تجزیه شیمیایی شدند. نتایج تجزیه نقطه‌ای کانی‌ها در جدول‌های ۱ تا ۳ ارائه شده است. برای Grapher12 بررسی و پردازش داده‌ها از نرم‌افزارهای Excel و استفاده شده است.

شیسته‌سیز: کانی‌های اصلی تشکیل دهنده شیسته‌های سبز مجموعه دگرگونی جنوب دوچاه شامل اکتینولیت، کلریت، اپیدوت و پلاژیوکلازهای سدیمی هستند. اسفن، کلسیت، روتیل، آپاتیت و اکسیدهای آهن و منگنز نیز به عنوان کانی فرعی یافت می‌شوند. این شیسته‌های سبز بر اساس فراوانی کانی‌های شاخص شامل سه گروه کلریت‌شیست، اپیدوت- اکتینولیت‌شیست و اکتینولیت‌شیست هستند (شکل‌های ۴ ب و پ). چنین تنوع ترکیبی می‌تواند ناشی از تنوع سیال‌های شرکت کننده در فرآیندهای دگرگونی باشد. افزایش سازای Ca سیال سبب فراوانی اپیدوت با فرمول $\text{Ca}_2\text{Fe}^{3+}\text{Al}_2\text{O}(\text{SiO}_4)(\text{Si}_2\text{O}_7)(2\text{OH})$ ، افزایش سازای Fe و Mg سبب تشکیل کلریت با فرمول $(\text{Mg},\text{Fe}^{2+},\text{Fe}^{3+},\text{Mn},\text{Al})_{12}(\text{Si},\text{Al})_8\text{O}_{20}(\text{OH})_{16}$ سازای Ca و Mg سبب فراوانی اکتینولیت با فرمول $\text{Ca}(\text{Fe}^{3+},\text{Mg})_5\text{Si}_8\text{O}_{22}(\text{OH},\text{F})_2$ در نمونه‌های سنگی مورد بررسی شده است. در این نمونه‌ها، اکتینولیت به صورت بلورهای ریز تا متوسط، کشیده و دوکی‌شکل تا شکل دار در بعضی نمونه‌ها با بافت نخ شکفتی ظاهر شده است. کلریت به صورت بلورهای نیمه‌شکل دار در بعضی نمونه‌ها در راستای برگوارگی تشکیل شده است و بافت ورقه شکفتی نشان می‌دهد. اپیدوت به صورت شکل دار تا بی‌شکل و ریزبلور تا درشت‌بلور دیده می‌شود. پلاژیوکلازها در شیسته‌های سبز به مقدار اندک یافت می‌شوند و به صورت ریزبلور تا متوسط‌بلور هستند. شواهد دگریختی مانند برگوارگی، خطوارگی، گسترش ریزچین و تشکیل بلورهای ماهی‌شکل اپیدوت در این سنگ‌ها دیده می‌شود (شکل ۴ ت).

آمفیبولیت: آمفیبولیت‌های مجموعه جنوب دوچاه بر اساس فراوانی کانی‌های شاخص موجود در آنها به سه گروه اپیدوت آمفیبولیت، آمفیبولیت و گارنت آمفیبولیت تقسیم شده‌اند. کانی‌های اصلی تشکیل دهنده اپیدوت آمفیبولیت‌ها و آمفیبولیت‌ها شامل اپیدوت، هورنبلند، پلاژیوکلاز و کوارتز هستند. اسفن، اکتینولیت، اپیدوت، کلریت و اکسیدهای آهن و منگنز نیز با فراوانی مودال کم در این سنگ‌ها حضور دارند. از بین این کانی‌ها، اسفن دارای بیشترین فراوانی است. در آمفیبولیت‌های مورد بررسی، هورنبلند، حجم عمدت‌های از کانی‌ها

جدول ۱ نتایج آنالیز مایکرورپوب آمفیبیول‌های متابازیت‌های مجموعه جنوب دوچاه.

| نمونه | شیست سبز | | | آمفیبیولیت | | | گارنت آمفیبیولیت | | |
|--|----------|-------|--------|------------|--------|-------|------------------|--------|-------|
| | مرکز | داخلی | لبه | مرکز | داخلی | لبه | مرکز | داخلی | لبه |
| SiO ₂ | ۵۶,۰۸ | ۵۷,۳۸ | ۳۹,۴۶ | ۴۶,۵۴ | ۱۶,۴۷ | ۴۷,۲۲ | ۴۶,۱۰ | ۴۶,۶۹ | ۴۴,۹۷ |
| TiO ₂ | ۰,۱۸ | ۰,۱۶ | ۰,۳۷ | ۰,۵۵ | ۰,۶۳ | ۰,۶۵ | ۰,۷۳ | ۰,۶۴ | ۰,۸۰ |
| Al ₂ O ₃ | ۱۳,۷۳ | ۱۳,۱۷ | ۱۳,۱۰ | ۱۳,۳۰ | ۱۲,۹۴ | ۱۲,۸۸ | ۱۵,۰۳ | ۱۵,۵۴ | ۱۵,۵۱ |
| Fe ₂ O ₃ | ۲,۳۱ | ۲,۲۲ | ۴,۵۵ | ۰,۱ | ۰,۲۴ | ۲,۳۳ | ۲,۹۳ | ۳,۹۱ | ۳۶,۱ |
| FeO | ۲,۶۴ | ۲,۵ | ۵,۲۹ | ۱۳,۸۲ | ۱۳,۸۱ | ۱۲,۲۴ | ۹,۸۲ | ۸,۶۲ | ۱۲,۲ |
| MnO | ۰,۴۹ | ۰,۱۹ | ۰,۲۱ | ۰,۱۵ | ۰,۳۸ | ۰,۰۲ | ۰,۱۸ | ۰,۰۷ | ۰ |
| MgO | ۱۹,۱۵ | ۱۹,۳۲ | ۱۴,۲۸ | ۱۰,۱۸ | ۹,۹۶ | ۱۰,۳۳ | ۱۰,۱۹ | ۱۰,۸۷ | ۹,۰۳ |
| NiO | ۰ | ۰ | ۰ | ۰ | ۰ | ۰ | ۰,۱۴ | ۰ | ۰ |
| CaO | ۱۱,۱۹ | ۱۰,۵۳ | ۱۰,۹۵ | ۱۱,۵۱ | ۱۱,۰۳ | ۱۱,۷۶ | ۱۰,۱۲ | ۹,۸۶ | ۱۰,۵۰ |
| Na ₂ O | ۰,۸۸ | ۱,۰۴ | ۲,۴۹ | ۱,۴۷ | ۱,۷۲ | ۱,۴۵ | ۱,۷۴ | ۱,۸۹ | ۲,۱۰ |
| K ₂ O | ۰,۰۹ | ۰,۰۸ | ۰,۲۳ | ۰,۴۹ | ۰,۳۷ | ۰,۵۵ | ۰,۴۵ | ۰,۴۱ | ۰,۲۹ |
| H ₂ O* | ۲,۱۸ | ۲,۱۹ | ۲,۱۱ | ۲,۰۷ | ۲,۰۷ | ۲,۰۸ | ۲,۰۸ | ۲,۱۱ | ۲,۰۶ |
| مجموع | ۱۰۰,۰۹ | ۱۰۰,۱ | ۱۰۰,۳۲ | ۱۰۰,۱۷ | ۱۰۰,۳۴ | ۱۰۰,۵ | ۹۹,۵۱ | ۱۰۰,۴۲ | ۹۹,۳۲ |
| تعداد اکسیژن | ۲۳ | ۲۳ | ۲۳ | ۲۳ | ۲۳ | ۲۳ | ۲۳ | ۲۳ | ۲۳ |
| Si | ۷,۷۲۲ | ۷,۸۵۵ | ۶,۵۷۷ | ۶,۷۵۵ | ۶,۸۲۷ | ۶,۷۹۸ | ۶,۶۴۱ | ۶,۶۲۶ | ۶,۵۴۷ |
| Al ^{iv} | ۰,۲۷۸ | ۰,۱۴۵ | ۱,۴۲۳ | ۱,۲۴۵ | ۱,۱۷۳ | ۱,۲۰۲ | ۱,۳۵۹ | ۱,۳۷۴ | ۱,۴۵۳ |
| Al ^{vi} | ۰,۳۲۷ | ۰,۳۶۷ | ۰,۷۶۶ | ۱,۰۳ | ۱,۰۳۵ | ۰,۹۸۴ | ۱,۱۹۳ | ۱,۲۲۵ | ۱,۲۰۸ |
| Ti | ۰,۰۱۸ | ۰,۰۱۶ | ۰,۰۴ | ۰,۰۶ | ۰,۰۶۸ | ۰,۰۷ | ۰,۰۷۹ | ۰,۰۸۹ | ۰,۰۸۷ |
| Fe ^{۳+} | ۰,۳۴۳ | ۰,۳۳۱ | ۰,۴۸۵ | ۰,۰۰۱ | ۰,۰۲۶ | ۰,۲۵۲ | ۰,۳۱۸ | ۰,۴۱۸ | ۰,۱۴۹ |
| Fe ^{۲+} | ۰,۳۰۴ | ۰,۲۸۶ | ۰,۶۲۷ | ۱,۶۷۸ | ۱,۶۷۱ | ۱,۴۷۴ | ۱,۱۸۳ | ۱,۰۲۳ | ۱,۴۸۶ |
| Mn | ۰,۰۵۷ | ۰,۰۲۱ | ۰,۰۲۵ | ۰,۰۱۸ | ۰,۰۴۷ | ۰,۰۰۲ | ۰,۰۲۳ | ۰,۰۰۸ | ۰ |
| Mg | ۳,۹۳۱ | ۳,۹۴۳ | ۳,۰۱۹ | ۲,۳۰۳ | ۲,۱۴۹ | ۲,۲۱۸ | ۲,۱۸۹ | ۲,۲۵۷ | ۲,۰۶۹ |
| Ca | ۱,۶۵۱ | ۱,۵۴۴ | ۱,۶۶۴ | ۱,۷۸۹ | ۱,۷۱۱ | ۱,۶۵۹ | ۱,۵۶۱ | ۱,۴۹۹ | ۱,۶۳۷ |
| Na | ۰,۲۲۴ | ۰,۲۷۷ | ۰,۶۸۴ | ۰,۴۱۵ | ۰,۴۸۲ | ۰,۴۰۶ | ۰,۴۸۶ | ۰,۵۲۱ | ۰,۵۹۳ |
| K | ۰,۰۱۵ | ۰,۰۱۴ | ۰,۰۴۲ | ۰,۰۹۱ | ۰,۰۶۹ | ۰,۱۰۱ | ۰,۰۸۲ | ۰,۰۷۴ | ۰,۰۵۴ |
| (Ca+Na) (B) | ۱,۸۸۵ | ۱,۸۲۱ | ۲ | ۲ | ۲ | ۲ | ۲ | ۲ | ۲ |
| Na (B) | ۰,۲۳۴ | ۰,۲۷۷ | ۰,۳۳۶ | ۰,۲۱۱ | ۰,۲۸۹ | ۰,۳۴۱ | ۰,۴۳۹ | ۰,۵۰۱ | ۰,۳۶۳ |
| (Na+K) (A) | ۰,۰۱۵ | ۰,۰۱۴ | ۰,۳۹۱ | ۰,۲۹۵ | ۰,۲۶۲ | ۰,۱۶۶ | ۰,۱۲۹ | ۰,۰۹۴ | ۰,۲۸۴ |
| Mg(Mg+Fe ²⁺) | ۰,۹۲۸ | ۰,۹۳۲ | ۰,۸۲۸ | ۰,۵۶۸ | ۰,۵۶۳ | ۰,۶۰۱ | ۰,۶۴۹ | ۰,۶۸۸ | ۰,۵۸۲ |
| Fe ^{+۳} (Fe ^{+۳} +Al ^{vi}) | ۰,۳۸۸ | ۰,۴۷۴ | ۰,۵۱۲ | ۰,۰۰۱ | ۰,۰۲۵ | ۰,۲۰۴ | ۰,۲۱ | ۰,۲۵۴ | ۰,۱۱ |

جدول ۲ نتایج تجزیه ریزپردازشی پلازیوکلазهای متابازیت‌های مجموعه جنوب دوچاه.

| نمونه | شیست سبز | | | آمفیبیولیت | | | گارنت آمفیبیولیت | | |
|--------------------------------|----------|--------|--------|------------|--------|-------|------------------|-------|-------|
| | مرکز | داخلی | لبه | مرکز | داخلی | لبه | مرکز | داخلی | لبه |
| SiO ₂ | ۶۸,۳۳ | ۶۸,۰۳ | ۶۷,۸۵ | ۶۳,۳۹ | ۶۳,۵۳ | ۶۴,۱۶ | ۶۲,۱۶ | ۶۳,۳۹ | ۶۳ |
| Al ₂ O ₃ | ۱۹,۶۳ | ۲۰,۰۸ | ۱۹,۹۶ | ۲۲,۱۱ | ۲۲,۹۲ | ۲۲,۰۸ | ۲۳,۷۹ | ۲۲,۸۴ | ۲۲,۱۲ |
| FeO | ۰ | ۰,۰۵ | ۰,۱۹ | ۰,۰۸ | ۰,۰۱ | ۰,۲۶ | ۰,۱۶ | ۰,۱۳ | ۰,۲۳ |
| CaO | ۰,۳۳ | ۰,۷۳ | ۰,۹۶ | ۴,۱۶ | ۴,۱۷ | ۳,۱۷ | ۵,۱۳ | ۴,۰۸ | ۴,۳۶ |
| Na ₂ O | ۱۱,۵۸ | ۱۱,۴۴ | ۱۱,۲۵ | ۹,۳۶ | ۹,۳ | ۹,۵۹ | ۸,۶ | ۹,۳۵ | ۹,۲ |
| K ₂ O | ۰,۱ | ۰ | ۰ | ۰,۰۳ | ۰,۰۷ | ۰,۴۸ | ۰,۲۸ | ۰,۱۲ | ۰,۰۵ |
| مجموع | ۹۹,۹۶ | ۱۰۰,۳۳ | ۱۰۰,۲۱ | ۱۰۰,۱۴ | ۱۰۰,۱۸ | ۹۹,۷۸ | ۱۰۰,۱ | ۹۹,۹۱ | ۹۹,۹۶ |
| Or (K) | ۰,۵ | ۰ | ۰ | ۰,۲ | ۰,۷ | ۲,۸ | ۱,۶ | ۰,۷ | ۰,۳ |
| Ab (Na) | ۹۷,۹ | ۹۶,۶ | ۹۵,۵ | ۸,۰۱ | ۷۹,۶ | ۸۲,۲ | ۷۴ | ۸ | ۷۹ |
| An(Ca+Mn+Mg) | ۱,۵ | ۳,۴ | ۴,۵ | ۱۹,۷ | ۱۹,۷ | ۱۵ | ۲۴,۴ | ۱۹,۳ | ۲۰,۷ |
| تعداد اکسیژن | ۸ | ۸ | ۸ | ۸ | ۸ | ۸ | ۸ | ۸ | ۸ |

جدول ۳ نتایج تجزیه ریزپردازشی گارنت‌های متباذیت‌های مجموعه جنوب دوچاه.

| نمونه | مرکز | گارنت آمفیبیول | | | | | | لبه |
|--------------------------------|--------|----------------|--------|--------|--------|--------|--------|--------|
| | | داخلی | | | | | | |
| SiO ₂ | ۳۷,۵۱ | ۳۷,۷۳ | ۳۷,۱۹ | ۳۷,۱۲ | ۳۸,۱۲ | ۳۸,۴۴ | ۳۷,۹ | ۳۸,۶۹ |
| TiO ₂ | ۰,۲ | ۰,۲۱ | ۰,۲ | ۰,۰۲ | ۰,۱۶ | ۰,۱ | ۰,۰۳ | ۰,۰۲ |
| Al ₂ O ₃ | ۲۱,۲۲ | 20,73 | ۲۱,۷۷ | ۲۱,۶۷ | ۲۰,۳۹ | ۲۰,۹ | ۲۱,۷۸ | ۱۹,۷۱ |
| FeO | ۲۴,۱۷ | ۲۵,۶۲ | ۲۵,۵۵ | ۲۶,۱۶ | ۲۷,۲ | ۲۶,۰۳ | ۲۶,۴۸ | ۲۶,۴۴ |
| MnO | ۴,۸۱ | ۴,۳۶ | ۴,۳۱ | ۴,۱۸ | ۳,۰۱ | ۲,۰۹ | ۱,۱۵ | ۱,۰۵ |
| MgO | ۲,۰۱ | ۱,۶۴ | ۱,۸۶ | ۲,۱۴ | ۲,۵۶ | ۴,۰۵ | ۳,۹۹ | ۴,۲۱ |
| CaO | ۱۰,۱۷ | ۹,۶۵ | ۸,۸۹ | ۸,۳۵ | ۸,۳۰ | ۸,۵۷ | ۸,۲۵ | ۹,۵۴ |
| مجموع | ۱۰۰,۱۴ | ۱۰۰,۰۷ | ۹۹,۸۶ | ۹۹,۷۲ | ۹۹,۹۴ | ۱۰۰,۱۹ | ۹۹,۸۵ | ۹۹,۷۸ |
| اسپسارتین | ٪۱۰,۷۷ | ٪۹,۸۰ | ٪۹,۷۰ | ٪۹,۴۲ | ٪۶,۷۶ | ٪۴,۶۳ | ٪۲,۵۴ | ٪۲,۳۲ |
| پیروپ | ٪۷,۹۲ | ٪۵,۷۱ | ٪۷,۳۶ | ٪۸,۴۷ | ٪۸,۵۲ | ٪۱۳,۴۲ | ٪۱۵,۵۹ | ٪۱۵,۴۹ |
| آلمندین | ٪۵۱,۵۸ | ٪۵۶,۰۱ | ٪۵۶,۶۲ | ٪۵۷,۰۶ | ٪۵۹,۰۵ | ٪۵۶,۱۵ | ٪۵۶,۸۷ | ٪۵۳,۶۲ |
| گروسولار | ٪۲۷,۴۷ | ٪۲۵,۸۱ | ٪۲۴,۴۷ | ٪۲۳,۴۸ | ٪۲۱,۱۹ | ٪۲۲,۴۹ | ٪۲۲,۶۲ | ٪۱۹,۸۰ |
| أندرادیت | ٪۰,۷۴ | ٪۱,۳۲ | ۰ | ۰ | ٪۱,۸۴ | ٪۰,۹۲ | ۰ | ٪۶,۴ |
| تعداد اکسیژن ها | ۱۲ | ۱۲ | ۱۲ | ۱۲ | ۱۲ | ۱۲ | ۱۲ | ۱۲ |

در شرایط دگرگونی درجه پایین تا متوسط (رخساره شیست-سبز) همراه با پلازیوکلازهای فقیر از کلسیم (سدیم‌دار) تشکیل می‌شود در درجات بالاتر (رخساره آمفیبیولیت) با آلیت واکنش داده و پلازیوکلازهای غنی از کلسیم را ایجاد می‌کند.

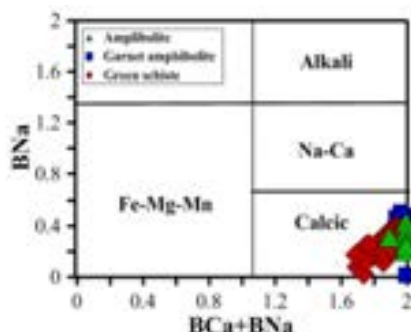
گارنت: ترکیب گارنت در گارنت‌آمفیبیولیت‌ها به صورت گارنت: $\text{Fe}^{3+}, \text{Mg}, \text{Ca}, \text{Mn}_3\text{Al}_2\text{Si}_3\text{O}_{12}$ نشان داده می‌شود، با این وجود Fe^{3+} نیز با مقادیر کم، به صورت جانشینی با Al در ترکیب گارنت حضور دارد. حضور گارنت به صورت همزیست با کانی‌های دارای Fe^{3+} مانند آمفیبیول، جانشینی $\text{Al}-\text{Fe}^{3+}$ در گارنت‌آمفیبیولیت‌های مورد بررسی را تأیید می‌کند. ترکیب گارنت‌ها بر حسب اعضای انتهایی آنها به صورت $\text{Grs}_{20-27}, \text{Pyr}_{5-16}, \text{Sps}_{1-10}, \text{Alm}_{51-61}$ است. موقعیت ترکیبی نمونه‌های مورد بررسی بر نمودار مثلثی پیروپ-آلمندین+اسپسارتین-گروسولار رسم و در شکل ۷ الف نشان داده شده است.

شکل ۷ ب نیمرخ ترکیبی کسر مولی سازنده‌های گارنت‌ها بهویژه کلسیم، منیزیم، منگنز و آهن را نشان می‌دهد. با توجه به این نمودار، مقدار X_{Fe} از مرکز به سمت لبه افزایش محسوسی دارد. کاهش مقدار آهن در آخرین نقطه تجزیه شده (در بخش لبه‌ای) به احتمال بسیار ناشی از دگرسانی یا هوادگی است. بررسی روند تغییرات X_{Mg} و X_{Mn} به طور همزمان نشان می‌دهد که تغییرات این دو پارامتر تا نقطه ۵ تقریباً هماهنگ است، ولی از نقطه ۵ تا لبه بلور، اختلاف بارزی

آمفیبیول: آمفیبیول‌های مورد بررسی بر اساس نمودار Ti نسبت به Si [۱۸] در گستره آمفیبیول‌های دگرگونی قرار دارند (شکل ۵ الف). چند نوع آمفیبیول در متباذیت‌ها معمول هستند. آمفیبیول‌های مورد بررسی با توجه به تقسیم‌بندی مرجع [۱۹]، از نوع کلسیمی هستند (شکل ۵ ب) و براساس نمودار تقسیم-بندی انواع آمفیبیول‌های کلسیمی که بر اساس مقدار کاتیون‌های اصلی موجود در آمفیبیول‌ها رسم شده، در گستره ترمولیت و آکتینولیت، منیزیوهومنبلند تا چرماکیت واقع شده‌اند (شکل ۵ پ). بیشتر آمفیبیول‌های دارای ماهیت ترکیبی ترمولیت-اکتینولیت مربوط به متباذیت‌های رخساره شیست‌سبز هستند. در حالی که آمفیبیول‌های دارای ماهیت منیزیوهومنبلندی تا چرماکیتی وابسته به متباذیت‌های رخساره آمفیبیولیت هستند. براساس نمودار Al^{IV} نسبت به Al^{VI} [۲۰] در گستره آمفیبیول‌های مورد بررسی از نوع آمفیبیول‌های فشار متوسط تا بالا با خاستگاه دگرگونی هستند (شکل ۵ ت).

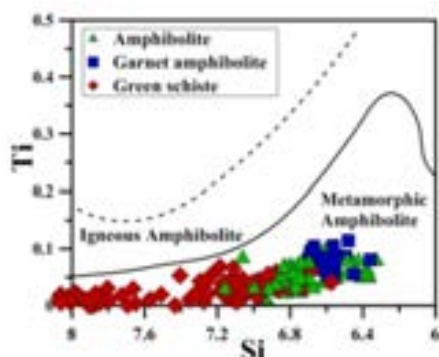
پلازیوکلاز: پلازیوکلازهای مورد بررسی از متباذیت‌های مجموعه دگرگونی-آلدنین جنوب دوچاه دارای ترکیب $\text{Or}_{0.4}, \text{Ab}_{67-99}$ و $\text{An}_{0.3-31}$ و از نوع آلیت تا آندزین هستند. در نمودار مرجع [۲۱]، پلازیوکلازهای وابسته به شیستهای سبز در گستره ترکیبی آلیت و پلازیوکلازهای وابسته به آمفیبیولیت‌ها و گارنت‌آمفیبیولیت‌ها در گستره ترکیبی الیگوکلاز تا آندزین واقع می‌شوند (شکل ۶). در متباذیت‌ها، کانی اپیدوت که اغلب

همزمان X_{Ca} و X_{Fe} نشان می‌دهد که این دو پارامتر رفتار تقریباً متقابلی دارند، یعنی کلسیم و آهن می‌توانند در ساختار گارنت‌های موجود در متابازیت‌های مورد بررسی به صورت محلول جامد تبادل کاتیونی انجام دهند.

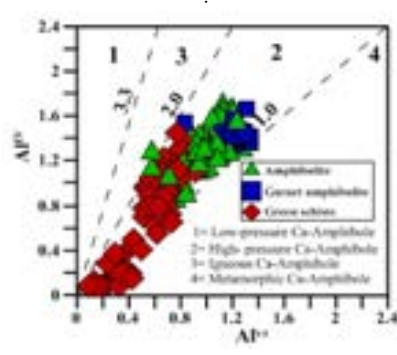


ب

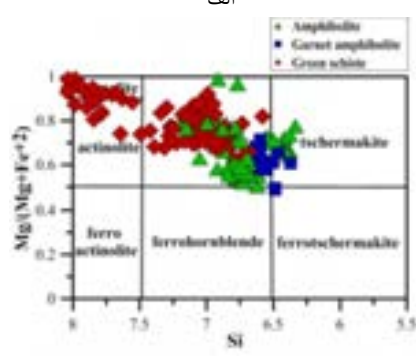
در تغییرات آنها دیده می‌شود به طوری که X_{Mn} کاهش قابل‌نمایش و برعکس، X_{Mg} افزایش حدود دو برابر نشان می‌دهد. اغلب چنین رفتاری نتیجه افزایش دما و فشار محیط تشکیل سنگ‌های میزان این گارنت‌هاست. X_{Ca} تغییرات کاهشی محسوسی از مرکز به سمت لبه نشان می‌دهد. بررسی



الف

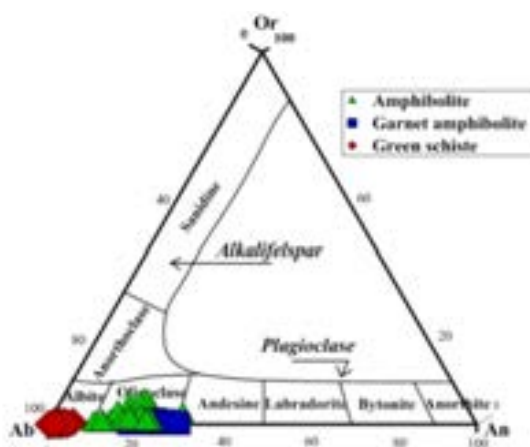


ت

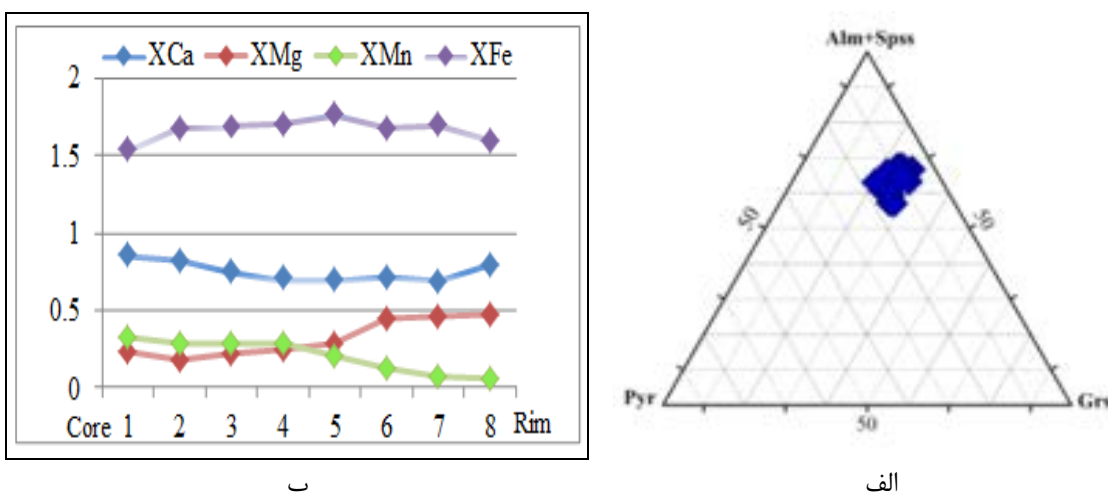


پ

شکل ۵ ترکیب آمفیبول‌های متابازیت‌های مجموعه دگرگونی-آذرین جنوب دو چاه در: الف - نمودار Ti/Si نسبت به Si برای مشخص نمودن آمفیبول‌های دگرگونی [۱۸]، ب- نمودار BNa نسبت به $\text{BCa}+\text{BNa}$ [۱۹]، پ - نمودار $\text{Mg}/(\text{Mg}+\text{Fe}^{+2})$ نسبت به Si برای تفکیک انواع آمفیبول‌ها [۱۹] و ت- نمودار $\text{Al}^{\text{IV}}/\text{Al}^{\text{VI}}$ نسبت به Al^{VI} [۲۱] برای تعیین نوع آمفیبول‌های دگرگونی و آذرین.



شکل ۶ نمودار مثلثی Ab-Or-An [۲۱] و برای تعیین طیف ترکیبی پلاژیوکلازهای مورد بررسی وابسته به متابازیت‌های مجموعه آذرین-دگرگونی دو چاه.



شکل ۷ الف- نمودار سه‌تایی مجموع اعضاء نهایی $\text{Pry}-(\text{Alm}-\text{Sps})-\text{Grs}$ و ب- موقعیت ترکیبی گارنٹ‌های مورد بررسی بر آن. ب- نیمرخ ترکیبی گارنٹ‌ها از مرکز به لبه برای گارنٹ آمفیبولیت‌ها.

کاتیونی Al^{IV} افروده می‌شود [۲۲]. مقدار Ti نیز تابع دماست و با افزایش دما در آمفیبول‌ها، مقدار آن افزایش می‌یابد؛ بنابراین مقدار تیتانیم موجود در آمفیبول‌ها نیز می‌تواند به عنوان یک دما‌سنج، دمای تشکیل آمفیبول‌ها را مشخص نماید [۲۲]. به عقیده کوپر و لاورینگ [۲۳]، مقدار تیتانیم موجود در آمفیبول به عوامل دیگری چون حضور فازهای تیتانیم‌دار در سنگ مانند تیتانیت و ایلمینیت نیز وابسته است. به نظر آنها، این عوامل موجب کاهش مقدار عنصر تیتانیم در ساختار کانی آمفیبول می‌شوند. بنابراین، افزایش مقدار تیتانیم همراه با کاهش عنصر سیلیسیم موجود در ترکیب آمفیبول روند افزایش دمای دگرگونی را نشان می‌دهد. در نمودار تغییرات $\text{Si}-\text{Ti}$ [۲۴]، آمفیبول‌های مورد بررسی با روند افزایش دمای یاد شده همخوانی دارند (شکل ۸ الف). نمودار Al^{IV} نسبت به Ti [۲۵] دمای تشکیل یا توقف تبادلهای شیمیایی آمفیبول‌های آمفیبولیت‌ها و گارنٹ‌آمفیبولیت‌های مجموعه دگرگونی-آذرین جنوب دوچاه را ۶۵۰ تا ۷۰۰ درجه سانتیگراد نشان می‌دهد (شکل ۸ ب).

فشارسنجدی آمفیبول: مقدار Al^{VI} و Al^t اساس فشارسنجدی در آمفیبول‌ها محسوب می‌شوند. مقدار Al^{VI} در آمفیبول‌ها با بالا رفتن فشار افزایش می‌یابد. مقدار Al^t در آمفیبول‌ها نیز وابسته به غلظت Al در سنگ مادر نیست، بلکه تابع فشار طی تشکیل آمفیبول‌هاست. نمودار $\text{Fet}/\text{Fe}^t+\text{Mg}$ نسبت به Al^t [۲۶] نشان می‌دهد که شیوه‌های سبز در فشارهای حدود ۳ تا ۷ کیلوبار،

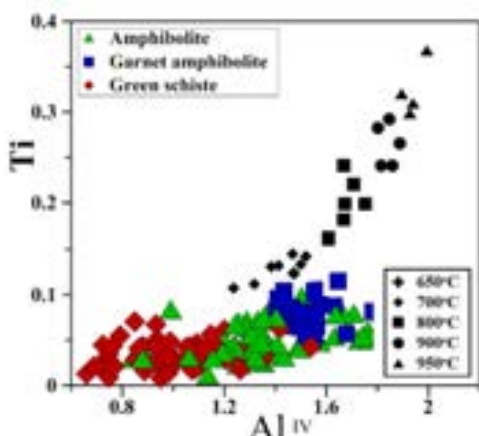
محاسبه دما و فشار متابازیت‌های مجموعه جنوب دوچاه با طیف ترکیبی گستردۀ آمفیبول‌ها، ترکیب پلاژیولکلاز و مجموع کانی‌های همزیست موجود در این سنگ‌ها همه نشان‌دهنده تشکیل آنها در گستره وسیعی از شرایط دما و فشار هستند. در دهه‌های گذشته، روابط تجربی بسیاری بر پایه روش‌های ترمودینامیکی برای برآورد دما و فشار متابازیت‌ها ارائه شده‌اند که از آن جمله می‌توان به دما-فشار سنجی زوج آمفیبول - پلاژیولکلاز و همچنین دما و فشارسنجی بر اساس ترکیب آمفیبول اشاره کرد.

دما - فشارسنجی آمفیبول: آمفیبول از کانی‌های اصلی متابازیت‌های سانتیگراد است. این کانی در گستره وسیعی از دماها (۰ تا ۴۰۰ درجه سانتیگراد) و فشارها (۱ تا ۲۳ کیلوبار) پایدار است [۱۸]. همچنین این کانی به دلیل فرمول شیمیایی متغیری که دارد، از نظر بار الکتریکی و شعاع یونی، عناصر مختلفی را می‌تواند در ساختار خود جای دهد. بین سازای آمفیبول‌ها، عناصری چون Na , Al , Ti و Ca وجود دارند که نسبت به تغییر فشار، دما و گریزندگی اکسیژن حساس هستند [۲۲]. بنابراین با توجه به مقادیر این عناصر، می‌توان به شرایط دما و فشار تشکیل این کانی پی برد.

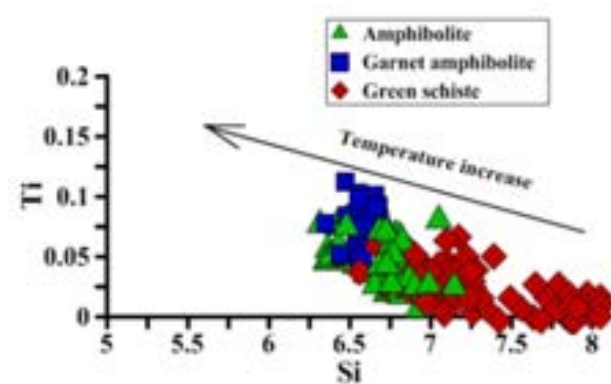
دماسنجدی آمفیبول: از روش‌های موجود برای دماسنجدی می‌توان به دماسنجدی بر پایه تغییرات Al^{IV} نسبت به Ti اشاره کرد. مقدار Al^{IV} در آمفیبول‌ها وابسته به دماست به طوری که با هر صد درجه سانتیگراد افزایش دما، حدود ۰.۳ به مقدار

دما - فشار (شکل‌های ۸ و ۹) تغییر کرده است. خلاصه‌ای از میانگین فشارهای محاسبه شده با استفاده از روش‌های فشارستنجی متداول، برای متابازیت‌های مجموعه جنوب دو چاه در جدول ۴ ارائه شده است.

آمفیبولیت‌ها در فشارهای ۴ تا ۹ کیلوبار و گارنت آمفیبولیت‌ها در فشارهای ۷ تا ۱۰ کیلوبار تشکیل شده‌اند (شکل ۹) که با شرایط متعارف تشکیل این سنگ‌ها همخوانی دارد. در واقع، ترکیب آمفیبول‌ها همسو با روند دگرگونی و تغییرات شرایط

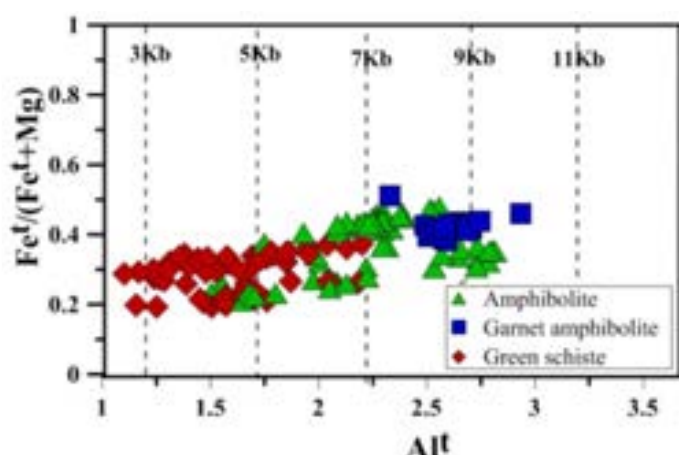


ب



الف

شکل ۸ موقعیت ترکیبی آمفیبول‌های متابازیت‌های مجموعه دگرگونی-آذرین جنوب دو چاه در الف - نمودار تغییرات Ti/Si نسبت به Ti/Al^{IV} [۲۴] و ب - نمودار Ti/Al^{IV} نسبت به Al^{IV} [۲۵]. که روند افزایش دمای دگرگونی از شیست سبز به آمفیبولیت در آن به طور کامل نمایان است.



شکل ۹ نمودار $Fe^t/(Fe^t+Mg)$ نسبت به Alt [۲۶] که فشار تشکیل متابازیت‌های مجموعه دگرگونی دو چاه را نشان می‌دهد.

جدول ۴ میانگین فشار محاسبه شده برای تشکیل متابازیت‌های جنوب دو چاه با استفاده از روش‌های مرسوم فشارستنجی آمفیبول.

| روش فشارستنجی | رابطه فشارستنجی | میانگین فشار (kbar) |
|---------------|---|---------------------|
| [۲۲] | $P (\pm 3\text{kbar}) = -3.92 + 5.03Al_t$ | ۶.۶ |
| [۲۶] | $P (\pm 0.6\text{kbar}) = -3.01 + 4.76Al_t$ | ۷ |
| [۲۷] | $P (\pm 1\text{kbar}) = -4.76 + 5.64Al_t$ | ۷.۱ |
| [۲۸] | $P (\pm 0.5\text{kbar}) = -3.46 + 4.23Al_t$ | ۵.۴ |

ترکیب پلازیوکلاز از آلبیت تا آندزین است. مجموع کانی‌های همزیست این سنگ‌ها نشانگر تشکیل متابازیت‌های دوچاه در گستره وسیعی از شرایط دما و فشار است. بر این اساس و همچنین با توجه به گستره‌های دما - فشار رسم شده برای این سنگ‌ها، متابازیت‌های مجموعه جنوب دوچاه دچار دگرگونی ناحیه‌ای پیشرونده دما - فشار متوسط منطبق با نوع بارووین فشار متوسط تا بالا در گستره دما - فشار رخساره‌های شیست-سبز تا آمفیبیولیت بالایی شده‌اند (شکل ۱۱).

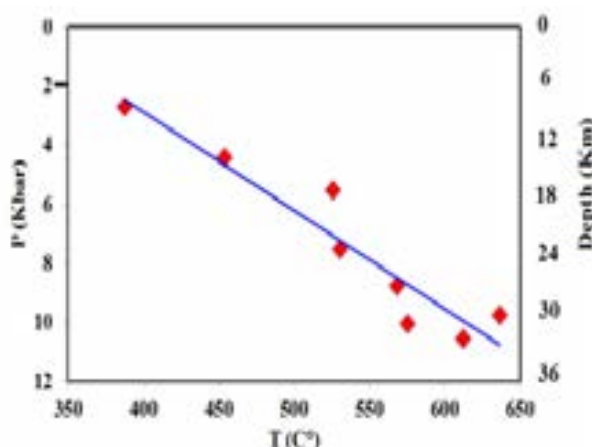
دما - فشار سنجی زوج آمفیبیول - پلازیوکلاز

این نوع دما - فشار سنجی بر اساس توزیع یون‌های Si, Al, Ca, Na و K بین زوج کانی‌های پلازیوکلاز و آمفیبیول در تعادل کانی‌شناسی و ترمودینامیک انجام می‌شود [۲۹]. دماها و فشارهای برآورده شده برای متابازیت‌های مجموعه جنوب دگرگونی دوچاه بر اساس این روش ۳۸۷ تا ۶۳۶ درجه سانتیگراد و ۲/۷ تا ۱۱ کیلوبار است (جدول ۵ و شکل ۱۰).

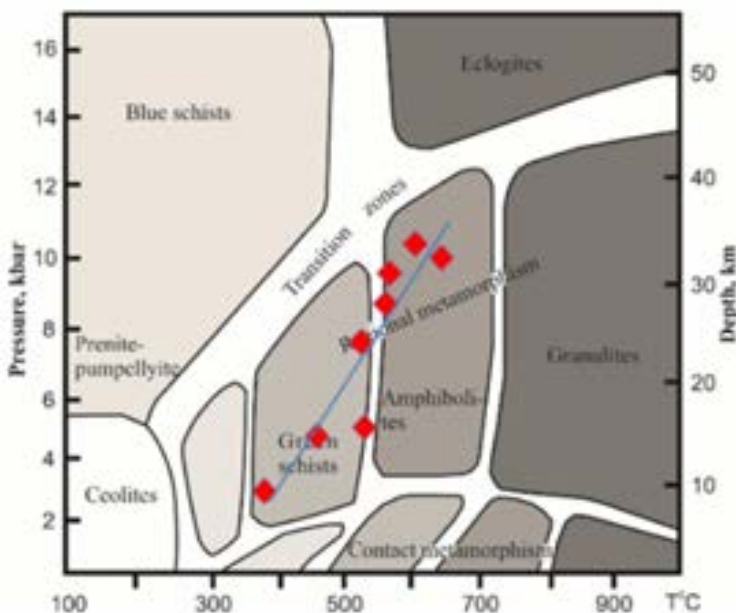
تغییرات کانی‌شناسی متابازیت‌ها در مسیر دگرگونی شامل تغییر ترکیب آمفیبیول‌ها از ترمولیت و آکتینولیت تا چرماتیت و

جدول ۵ نتایج دما - فشار سنجی زوج آمفیبیول (هورنبلند) - پلازیوکلاز.

| نقطه | ۱ | ۲ | ۳ | ۴ | ۵ | ۶ | ۷ | ۸ |
|-----------------------------------|--------|-------|--------|--------|--------|--------|--------|--------|
| SiO_2 | ۵۰,۵۲ | ۵۹,۵۱ | ۴۹,۱۹ | ۴۷,۰۶ | ۴۶,۰۵ | ۴۶,۲۶ | ۴۵,۱۹ | ۴۴,۹۴ |
| TiO_2 | ۰,۳۸ | ۰,۱۸ | ۰,۷۵ | ۰,۳۸ | ۰,۶۹ | ۰,۸۶ | ۰,۶۹ | ۰,۷۱ |
| Al_2O_3 | ۱۰ | ۹,۹ | ۱۰,۳۵ | ۱۲,۲۱ | ۱۳,۴۲ | ۱۴,۹۴ | ۱۵,۷۳ | ۱۵,۱۹ |
| FeO^* | ۸,۱۴۴ | ۳,۸۵ | ۱۳,۰۳ | ۱۴,۳۷ | ۱۴,۹۹ | ۱۲,۵۳ | ۱۳,۱۱ | ۱۱,۱۳ |
| MgO | ۱۵,۲۲ | ۲۱,۶۲ | ۱۱,۶۹ | ۱۰,۴ | ۹,۲۹ | ۹,۸۶ | ۹,۵۷ | ۱۱,۵۳ |
| MnO | ۰,۱۱ | ۰,۱۷ | ۰,۲۵ | ۰,۰۵ | ۰,۲۸ | ۰,۱۱ | ۰,۱۴ | ۰,۳۹ |
| CaO | ۱۰,۸۹ | ۱۱,۱۱ | ۱۱,۰۳ | ۱۰,۹۹ | ۱۱,۲۶ | ۱۰,۱۲ | ۱۰,۷۹ | ۱۰,۹۵ |
| Na_2O | ۱,۷۱ | ۰,۳۵ | ۱,۴۵ | ۱,۶ | ۱,۶۸ | ۱,۸۱ | ۱,۸۶ | ۲,۵۴ |
| K_2O | ۰,۱۳ | ۰,۰۶ | ۰,۱۴ | ۰,۳۴ | ۰,۴۵ | ۰,۵۳ | ۰,۳۴ | ۰,۴ |
| XAb | ۰,۹۵۶ | ۰,۹۹ | ۰,۷۷۵ | ۰,۸۲۳ | ۰,۷۸۴ | ۰,۷۰۴ | ۰,۶۹۴ | ۰,۷۵۹ |
| X An | ۰,۰۴۳ | ۰ | ۰,۲۱۵ | ۰,۱۷۳ | ۰,۲۱۵ | ۰,۲۹۶ | ۰,۳ | ۰,۲۳۵ |
| $T (^\circ\text{C}) \text{ HB}_2$ | ۳۸۷,۶۳ | ۴۵۳,۸ | ۵۲۵,۶۶ | ۵۳۰,۳۸ | ۵۶۸,۱۸ | ۵۷۵,۵۱ | ۶۱۲,۳۷ | ۶۳۶,۶۳ |
| $P(\text{kb}) \text{ HB}_2$ | ۲,۷۱ | ۴,۴۵ | ۵,۵۵ | ۷,۵۲ | ۸,۷۷ | ۱۰,۰۷ | ۱۰,۵۶ | ۹,۷۷ |



شکل ۱۰ نمودار تغییرات فشار نسبت به دما که براساس داده‌های به دست آمده از روش‌های دما - فشار سنجی شرح داده شده در متن محاسبه و رسم شده‌اند.



شکل ۱۱ نمودار دما - فشار نشان دهنده گستره دما - فشار متابازیت‌های مجموعه دگرگونی دو چاه به این نمودار اضافه شده است.

دلویت، مارن، بازالت و گایپرودیوریت، و آتشفسانی-تخریبی‌های واپسیه بوده‌اند و به مناطق بسیار کم عمق تا عمیق حوضه‌های رسوی وابسته به حوضه‌های کششی درون قاره‌ای تعلق داشته‌اند. در این حوضه‌های رسوی، همراه با کشش‌های همزمان با بازشدگی، شرایط مساعدی برای تشکیل و صعود مانگماهای پسین فراهم شده است. در نتیجه، می‌توان گفت که گدازه‌های بازی، همزمان با رسویگذاری توالی رسوی اولیه، به درون حوضه‌های رسوی نئوپروتروزوزئیک پسین راه یافته‌اند. بر اساس بررسی‌های انجام شده بر مناطق پی‌سنگی نئوپروتروزوزئیک-پسین مناطق هم‌جوار، بسیاری از پژوهشگران معتقدند که در اواخر نئوپروتروزوزئیک پسین، حوضه‌های کششی درون قاره‌ای کوچک و بزرگی تشکیل شده‌اند (برای مثال [۱-۹])، گفتنی است که در مجموعه دگرگونی جندق، حضور سنگ‌های بازالتی، بازالتی بالشی، لوکوگایپری، پیروکسنتی و هارزبورزیتی که در حد رخساره‌های شیست‌سیز و آمفیبولیت دگرگون شده‌اند، نشان می‌دهد که این حوضه‌های کششی تا مرحله اقیانوس‌زایی نیز پیش‌رفته‌اند [۸]. پس از حاکم شدن یک نظام تراکمی قوی بر سرزمین‌های شمال گندوانا، حوضه-

الگوی پیشنهادی روند دگرگونی

گستره دماها و فشارهای بدست آمده برای متابازیت‌های مجموعه جنوب دوچاه با گسترهای دما و فشار محاسبه شده برای متابازیت‌های مجموعه‌های پی‌سنگی هم‌جوار همخوانی ۶۰۲ خوبی دارد. برای آمفیبولیت‌های مجموعه شترکوه دماهای ۷۱۱ درجه سانتیگراد و فشارهای ۹ تا ۱۱ کیلوبار [۶]، برای مجموعه دگرگونی دلبر دماهای ۴۸۶ تا ۷۰۶ درجه سانتی‌گراد و فشارهای ۶ تا ۱۳ کیلوبار [۴]، بندهزارچاه دماهای ۴۲۹ تا ۶۰۸ درجه سانتیگراد و فشارهای ۳۳۱ تا ۱۱/۲ کیلوبار [۵] و برای ماجراجاد دماهای ۴۵۴ تا ۶۶۲ درجه سانتی‌گراد و فشارهای ۴ تا ۱۳ کیلوبار [۹] بدست آمده است. این گسترهای دما و فشار نشان می‌دهد که مناطق پی‌سنگی جنوب شرق شاهروд دستخوش رخداد دگرگونی ناحیه‌ای معادل با رخساره شیست-سیز تا آمفیبولیت بالایی شده‌اند و تغییرات دما - فشار آنها با شب (گرادیان) زمین‌گرمایی دگرگونی نوع بارووین فشار بالا همخوانی دارد.

ترکیب کانی‌شناسی و سنگ‌شناسی سنگ‌های دگرگونی مجموعه دوچاه نشان می‌دهد که سنگ‌های مادر آنها دارای طیف ترکیبی بسیار متنوعی از ماسه‌سنگ، شیل، آهک،

نوع بارووین فشار متوسط تا بالا، دگرگون شده‌اند. این رخداد دگرگونی در ارتباط با کوهزایی کادومین در سرزمین‌های گندوانایی ایران صورت گرفته است.

مراجع

- [1] Hassanzadeh J., Stockli D.F., Horton B.K., Axen G.J., Stockli L.D., Grove M., Schmitt A.K., Walker J.D., "U-Pb zircon geochronology of late Neoproterozoic-Early Cambrian granitoids in Iran: Implications for paleogeography, magmatism, and exhumation history of Iranian basement", *Tectonophysics* 451(2008)71–96.
- [2] Rahmati Ilkhchi M., Faryad S.V., Holub F.V., Kosler J., Frank, W., "Magmatic and metamorphic evolution of the Shotur Huh metamorphic complex (Central Iran)", *Earth Sciences* 100(2011) 45–62.
- [3] Shafaii Moghadam H., Khademi M., Hu Z., Stern R J., Santos J F., Wu Y., "Cadmian (Ediacaran-Cambrian) arc magmatism in the ChahJam-Biarjmand metamorphic complex (Iran): Magmatism along the northern active margin of Gondwana", *Gondwana Research* 27(2013) 439-452.
- [4] Balaghi Einalou M., "Petrology and Geochemistry of Delbar Metamorphic-igneous Complex, Biarjomand Region (Southeast of Shahrood)", PhD thesis, Shahrood University of Technology, Shahrood, (2015) 522p.
- [5] Hosseini S. H., "Petrology, geochemistry and geochronology of Band-e-Hezar Chah granitoid pluton of Biarjomand (SE of Shahrood)" PhD thesis, Shahrood University of Technology, Shahrood, (2015)256p.
- [6] Sadeghian M., Hosseini S.H, Hemmati A., Shekari S., "Petrology, geochemistry and geochronology of SW Mayamey granitoids", *Journal of Earth Sciences, Geological Survey of Iran* 103(2016) 41-60.
- [7] Shekari S., "Petrology and geochemistry of Shotor Kuh metamorphic-igneous complex", PhD thesis, Shahrood University of Technology, Shahrood, (2018) 392p.
- [8] Baluchi S., "Petrology, geochemistry and isotope geology of Jandagh-Arusan metamorphic-igneous complex" PhD thesis, Shahrood University of Technology, Shahrood, (2019) 428p.

های کششی ایجاد شده بسته شده‌اند و مواد درون آنها به صورت آمیزه‌های زمین ساختی درآمده و یا روی ورقه‌های قاره‌ای همچوار فرارانده شده و به احتمال بسیار تا مرحله برخورد قاره - قاره پیش رفته‌اند. با در نظر گرفتن شدت و ضعف بسته‌شدن و فرورانش‌های ناقص احتمالی و از سوی دیگر فرارانش ورقه‌های سنگی، سنگ‌های درگیر در این فرایندها در حد شیست‌سیز تا آمفیبولیت‌بالایی دگرگون شده‌اند. طی فرایند بسته‌شدن حوضه‌های رسوی مورد نظر و رخداد فرایند دگرگونی، قطعه‌های سنگی به صورت منشورهای به هم افزوده ظاهر شده‌اند و آمیزه زمین ساختی سنگ‌های مورد بررسی داده‌اند. طی تنש‌های زمین ساختی، سنگ‌های مورد بررسی دستخوش دگرشکلی و میلونیت‌زایی قابل توجهی بر شده‌اند که می‌توان شواهد آن را از بزرگ مقیاس تا ریزمقیاس (در حد مقیاس میکروسکوپی) به روشنی دیده کرد. چین‌خوردگی، گسترش خطوارگی و برگوارگی و در مواردی گسل‌خوردگی از شواهد بارز دگرشکلی در منطقه جنوب دوچاه است. بر اساس سن‌سنجی‌های انجام شده به روش اورانیم- سرب بر روی زیرکن‌های استخراج شده از متابازیت‌های مجموعه‌های همچوار، گستره سنی ۵۲۶ تا ۵۷۷ میلیون سال برای متابازیت-های ماجارد [۹] و ۵۳۴ تا ۵۴۸ میلیون سال برای متابازیت‌های شترکوه [۳۰] به دست آمده است. این گستره سنی با نئوپروتزوژوئیک پسین (ادیاکارن) همخوانی دارد و متراffد با کوهزایی کادومین در سرزمین‌های گندوانایی ایران است.

برداشت

مجموعه دگرگونی-آذرین نئوپروتزوژوئیک پسین جنوب دوچاه در بردارنده سنگ‌های دگرگونی چون متابازیت، متاباپلیت، متاکربنات و متاپسامیت است که میزان سنگ‌های آذرین لوکوگرانیتی و بیوتیت‌گرانیتی هستند. متابازیت‌های این مجموعه با طیف ترکیبی شیست‌سیز، آمفیبولیت، اپیدوت-آمفیبولیت و گارنت‌آمفیبولیت دارای سنگ‌های مادر بازالتی زیردریایی، دسته دایک‌های دیابازی و توده‌های نفوذی گابرودیوریتی کوچک مقیاس بوده‌اند که در گستره دماهی ۳۸۷ تا ۶۳۶ درجه سانتیگراد و فشارهای ۱۱ تا ۲/۷ کیلوبار، معادل دما و فشار رخساره شیست‌سیز تا آمفیبولیت‌بالایی و منطبق با

- Mineralogist 50(1965) 843 – 851.
- [19] Leake B. E., Woolley A. R., Arps C. E. S., Birch W. D., Gilbert M. C., Grice J. D., Hawthorne F. C., Kato A., Kisch H. J., Krivovichev V. G., Linthout K., Laird J., Mandarino J. A., Maresch W. V., Nickel E. H., Rock N. M. S., Schumacher J. C., Smith D. C., Stephenson N. C. N., Ungaretti L., . "Nomenclature of amphiboles: report of the subcommittee on amphiboles of the international mineralogical association, commission on new minerals and mineral names", American Mineralogist. 82(1997) 1019-1037.
- [20] Fleet M.E., Barnett R.L., "Al^{IV}, Al^{VI} partitioning in calciferous amphiboles from the Frood mine, Sudbury, Ontario", Canadian Mineralogist 16(1978) 527-532.
- [21] Deer W.A., Howie R.A., Zussman J., "An Introduction to the rock-forming minerals", John Wiley and Sons, New York, (1966) P 528.
- [22] Hammarstrom J. M., Zen E. A., "Aluminum in hornblende: An empirical igneous geobarometer", American mineralogist 71(1986) 1297-1313.
- [23] Cooper A. F., Lovering J. F., "Greenschist amphiboles from River, New Zealand", Contributions to Mineralogy and Petrology 27(1970) 11-24.
- [24] Hynes A., "A comparison of amphiboles from medium- and low pressure metabasites", Contributions to Mineralogy and Petrology 8(1982) 119-125.
- [25] Ernst W. G., Liu J., "Experimental phase-equilibrium study of Al and Ti contents of Calcic amphibole in MORB-A semiquantitative thermobarometer", American Mineralogist 83(1998) 952-969.
- [26] Schmidt M. W., "Amphibole composition in tonalite as a function of pressure: An experimental calibration of the Al-in-hornblende barometer" Contributions to Mineralogy and Petrology 110 (1992) 304-310.
- [27] Hollister L.S., Grissom G.E., Peters E.K., Stowell H. H., Sisson. V. R., "Confirmation of the empirical correlation of Al in hornblende with pressure of solidification of calc-alkaline plutons" American Mineralogist 72(1987) P 231-239.
- [28] Johnson M. e., Rutherford. M. J., "Experimental calibration of the aluminum-in-
- [9] Veiskarami., Sadeghian M., Mingguo Z and Ghasemi H., "Petrology, geochemistry and dating of the Late Neoproterozoic metabasites of the Majerad metamorphic complex (SE of Shahrood): One step to understanding of the geodynamic evolutions of Iranian Gondwanan terrains", Iranian Journal of Crystallography and Mineralogy 27(2019)191-216.
- [10] Rahmati Ilkhchi M., "1:100000 geological map of Rezveh", Geological Survey of Iran, 2003.
- [11] Ghasemi A., Haji Hosseini A., "1:100000 geological map of Dareh Daii", Geological Survey of Iran, 2004.
- [12] Ghasemi H., "Petrography and petrogenesis of metamorphic rocks: Volume 2: Petrogenesis of Compositional Groups and Tectonic Settings of metamorphic event". Shahrood University of Technology Publications. First Ed. (2016) 725p.
- [13] Tao Peng., Ling-Sen Zeng., Li-E Gao., Axel Gerdes., Jia-Hao Gao., Zhao-Ping Hu and Chun-Ming Wu., "Metamorphic P-T path and SIMS zircon U-Pb dating of amphibolite of the Namche Barwa Complex, southeast Tibet, China", Lithos 104(2018) 1-74.
- [14] Ghasemi H., Rostami Hossury M., and Sadeghian, M., "Basic Magmatism in the Extensional back-arc basin of the Lower-Middle Jurassic on the northern edge of Central Iran-South of Eastern Alborz Zones, Shahrood-Damghan". Geosciences 27(107) (2018) 123-136.
- [15] Rostami-Hossury M, Ghasemi H, Kavan Nang P, Rezaii M, Mobasher M., "Mineral chemistry and thermobarometry of Jurassic diabasic dikes swarm from West Reza-Abad (Southwest of Biarjomand.)". Iranian Journal of Crystallography and Mineralogy 25(2018) 761-774
- [16] Balaghi Einalou Z., Sadeghian M., Ghasemi H., Zhai M. G., Mohajjel M., "Mineralogy, geochemistry and radiometric age of mafic dikes in Delbar metamorphic complex (Southeast of Shahrood)", Iranian Journal of Crystallography and Mineralogy 22(2013b) 484-471.
- [17] Bucher K., Frey M., "Petrogenesis of Metamorphic Rocks", (1946) 308P.
- [18] Leake B. E. "The relationship between tetrahedral aluminum and the maximum possible octahedral aluminum in natural calciferous and subcalciferous amphiboles", American

- [30] Shekari S., Sadeghian M., Ghasemi H., Zhai M., "Mineral chemistry, petrogenesis of metapelitic rocks of metamorphic-igneous Shotor-Kuh complex (SE Shahrood)", Iranian Journal of Crystallography and Mineralogy 26(2018) 179-194.
- hornblende geobarometer with application to Long Valley caldera (California)", Geology 17(1989) 837-841.
- [29] Holland T., Blundy J., "Non-Ideal Interactions in Calcic Amphiboles and Their Bearing on Amphibole-Plagioclase Thermometry", Contributions to Mineralogy and Petrology 116(1994) 433-447.